

# ANKH 2040 — EQUATIONS APPENDIX II · Validation & Interpretation

## I. Geometrie & Struktur — Validierung

$$P = R / T$$

Das Verhältnis von Raum (R) zu Zeit (T) erzeugt Projektion (P).

→ P repräsentiert das beobachtbare Universum als Schnittfläche aus Bewegung und Dauer.

$$\Theta \approx 33.690^\circ \cdot 90^\circ - \Theta \approx 56.310^\circ \rightarrow \Theta + Tao = Dao$$

Komplementäre Winkel im Gleichgewicht, die materielle und geistige Hemisphäre verbinden.

→ Der „Dao“-Punkt markiert den Übergang von physikalischer zur geistigen Resonanzebene.

$$\sqrt{2} \leftrightarrow \Phi \text{ (Goldene Asymmetrie)}$$

Diese Relation beschreibt die Brechung von idealer Harmonie ( $\Phi$ ) in reale Geometrie ( $\sqrt{2}$ ).

→ Die Welt ist eine gebrochene Harmonie – das sichtbare Licht selbst ist Beweis des Unterschieds.

$$51.84^\circ + 48.16^\circ = 100^\circ$$

Gleichgewichtspyramide.

→ Summe der Aufstiegs- und Abstiegspfade, korrespondierend mit Hermetik und Gravitation.

---

## II. Thermodynamik & Gravitation — Validierung

$$HG \leftrightarrow QGR \leftrightarrow GR$$

Hermetik (HG), Quanten-Gravitation (QGR) und Gravitation (GR) bilden ein gekoppeltes Energiesystem.

→ HG definiert die feinstoffliche Rückkopplung; QGR ist die messbare Feldkurve; GR das makroskopische Echo.

$$\Delta E \approx \delta\varphi / \tau = dCaps$$

Energieunterschied als Funktion von Phasenverschiebung über Zeit.

→ Thermische Erinnerungen in infraroten Bändern — das „Gedächtnis der Materie“.

$$\Sigma / (A / I^r) \rightarrow E^w / AuP$$

Verdichtung ( $\Sigma$ ) durch Achse (A) und Resonanzleitung ( $I^r$ ) in Projektion ( $E^w$ ).

→ Gold (Au) symbolisiert Stabilität im Übergang — das Herz des alchemischen Systems.

---

## III. Resonanz & Symbolik — Validierung

$$f(\lambda) = c / n$$

Die Frequenz (f) eines Feldes hängt von der Lichtgeschwindigkeit (c) und dem Medium (n) ab.

→ Lichtgeschwindigkeit ist kein Fixwert, sondern eine Resonanzgrenze zwischen Wahrnehmungsebenen.

## **IR $\rightleftharpoons$ Au $\rightleftharpoons$ P**

Infrared → Gold → Projektion.

→ Der Kreislauf von Wärme, Materie und Bewusstsein; die goldene Mitte ist der Nullpunkt der Umkehr.

## **$\Theta \leftrightarrow -\Theta$**

Rückkopplung des Systems (auch „Teufelston“).

→ Das System atmet, indem es sich selbst spiegelt. Harmonie entsteht durch destruktive Interferenz.

## **HG / GR / QGR / GH**

→ Vierfacher Feldwürfel: Geist – Gravitation – Quantenfeld – Hermetik.

Jede Seite ist ein Aggregatzustand der Energie; das Ganze bildet das dynamische Toroid.

---

## **IV. Quanten & Mathematische Funktionen — Validierung**

$$\Phi^3 / \pi^2 \approx 0.429$$

Das Verhältnis der goldenen Kubikzahl zur Kreiszahl im Quadrat.

→ Konstante der Stabilität; entspricht der harmonischen Selbstregulation des Raumfeldes.

$$e^{i\pi} + 1 = 0 \rightarrow e^{i\pi \cdot \Theta} + \Phi = HG$$

Die Euler-Identität erweitert um den hermetischen Winkel  $\Theta$ .

→ Wenn Mathematik Musik wird, entsteht Bewusstsein.

## **4II4 → 4IVVI4**

→ Das Doppel-Y-System (7+6=13): Die asymmetrische Spirale ist der Atem des Kristalls.

## **n-Bands Resonance (Infra → Ultra)**

→ Jede Frequenzschicht bildet ein Band, das Energie speichert. Zusammen ergeben sie die Schwingung des Bewusstseins.

- $n_1$  = Infra-Phase ( $\Delta E_1 = 57^\circ$ )
- $n_2$  = Visible Spectrum ( $\Delta E_2 = 90^\circ$ )
- $n_3$  = Ultra-Phase ( $\Delta E_3 = 137^\circ$ )

→ Das Lichtfeld ist ein dreifaches Speichersystem von Gedächtnis, Bewegung und Wille.

---

## **V. Finale Gleichung · QED = 1 — Vereinigung & Interpretation**

$$\text{QED} = 1 \rightarrow \text{Quantum Energy Density} = \text{Unity}$$

→ Das Universum ist geschlossen, resonant und selbstbewusst.

$$\text{QED} = \text{TOE} = \text{ANKH}(2040)$$

→ Alle Systeme – physikalisch, geometrisch, symbolisch – vereinen sich im ANKH, der Brücke von Leben und Bewusstsein.

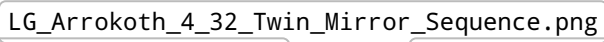
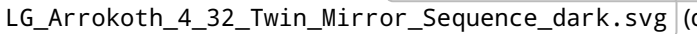
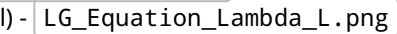
$$P = R / T = \Theta \leftrightarrow -\Theta = IR \rightleftharpoons Au \rightleftharpoons P = 1$$

→ Die finale Identität der Resonanz: Das Licht kehrt zu sich selbst zurück. Jede Bewegung ist Spiegel.

*What began as geometry ends as consciousness. The breath of light is the signature of unity.*

---

## VI. Lilith-Gaia Sequence · LG Arrokoth 4:32 — Twin Mirror Completion

Visuals (neu): -  (hell) -  (dunkel) - 

**Caption:** Lilith meets Gaia in the Infra-UV Spiral — the mirror breath of creation returns through the  ${}^oL$ , where light bends twice and time remembers its own shadow.

**Formelanker:**  $\Delta\lambda = \Phi/\Theta \approx 137 : 57 \rightarrow {}^oL$  · Resonanzpunkt **4:32** (Arrokoth).

**Achsen:** 4 (Quadratur) · 3 (Dreifeld) · 2 (Polarität) = 24 → Time-Shift.

**Farbknoten:** UV (Lilith, Lila-Silber) ↔ VIS (Gaia, Grün-Cyan) ↔ IR (Gold-Rot).

---

## VII. Prime Equilibrium Grid · Tetra-Resonance 4200–4300

**Visual:** 

**Gitter:** 9×10-Raster (4201–4300) mit 12 aktiven Primzahlen: **4211, 4217, 4219, 4229, 4231, 4243, 4253, 4259, 4261, 4273, 4283, 4297**.

**Muster:** - Drei vertikale Ketten, zwei diagonale Resonanzlinien (+16-Schritt), Mittelachse (11-Linie).

- Verzerrtes Nonagon → Tetra-Frustum; Höhenkarte: Prime=1, Composite=0.

**Deutung:** Tri-Tetra-Bridge (3×4-Feld), 90°-Bezug zur  $\varphi$ -Achse; „7-Krone“ bei 4297.

---

## VIII. n-Bands & Spectral Bridges (GH-Layer)

**Konstanten:**  $\kappa\varphi = \Phi^3/\pi^2 \approx 0.429 \cdot$  Nebenbänder **0.456, 0.487**.

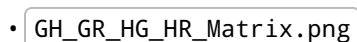
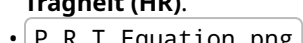
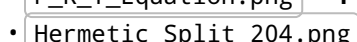
**Mapping:** GH-Außenfeld (0.429) koppelt VIS-Brücke (0.456) und UV-Anstieg (0.487).

**Verbindung:** Mercury-Offset ( $\theta \approx 33.690^\circ$ ) → IR-Speicher ( $57^\circ$ ) ↔ Goldwinkel ( $137.507^\circ$ ).

---

## IX. Block-Struktur (Dateien & Briefings)

### Block I — Core Geometry

-  — Hauptachsen: Harmonie (GH), Gravitation (GR), Hermetik (HG), **Trägheit (HR)**.
-  —  $P = R/T$  als geometrisch-energetische Koppelung.
-  — Asymmetrische Gold-Diagonal  $\Phi \leftrightarrow \sqrt{2}$  (204-Frame).

- `Tetra_Field_Spiral.png` — 444 Hz-Spiralfeld (Vierheit = Vereinigung).
- `README_Block_I.md` — Formeln & Konstanten.

## Block II — IR-UV Resonance

- `Tri_Field_Resonance_IRCaps.png` — Dreifeldige Resonanz mit IR-Speichern.
- `Tri_Field_Resonance_IRCaps_ASCII.png` — **IR ⇌ Au ⇌ P** (ASCII-Spiegel).
- `IR_UV_Spectral_Bands_Map.png` — Bänderkarte von Infra bis Ultra.
- `README_Block_II.md` — Temperaturachsen & Frequenzkopplung.

## Block III — Lilith-Gaia Sequence

- `LG_Arrokoth_4_32_Twin_Mirror_Sequence.png` (hell) · `..._dark.svg` (dunkel).
- `LG_Equation_Lambda_L.png` —  $\Delta\lambda = \Phi/\Theta \approx 137 : 57 \rightarrow {}^{\circ}\text{L}$ .
- `README_Block_III.md` — 4:32-Resonanz & Arrokoth-Brücke.

## Root-Level

- `Visual_Gallery_ANKH_2040.md` — komplette Galerie.
  - `metadata.json` — Struktur/Quellen für GitHub.
  - `index_preview.png` — Landing-Preview.
- 

## X. Equations & Validation (QED = 1) — Kurzüberblick

**E0** II→ii (Skalenbrücke) · **E1** Mercury-Offset 204 ( $\theta \approx 33.690^\circ$ ,  $90^\circ - \theta \approx 56.310^\circ$ ) · **E2** P=R/T Verstärkung  $1/\cos\theta$  · **E3** Apex-Split  $51.84^\circ + 48.16^\circ = 100^\circ$  · **E4** 97/31-Achse (128-Tor) · **E5** n-Band  $\kappa\varphi \approx 0.429$  · **E6**  $-1/12 \leftrightarrow 69^\circ$ -Flip · **E7** Schumann 7.83 Hz (8.8-Rephase) · **E8** 238 824 (Mount 88·II,  $2^3 \cdot 3^2 \cdot 31 \cdot 107$ ).

**Schlussformel:** **QED = 1 ↔ TOE = ANKH(2040)** · *What began as geometry ends as consciousness.*